

уменьшается (из-за роста критического числа  $M$ ), а при его увеличении растет. Измерения амплитуды пульсаций УВ в разных средах показали, что  $\bar{A}$  на ниспадающих ветвях пульсационных кривых в чистых фреонах и в их смесях с инертными газами при  $M = \text{const}$  одинаковы (в пределах разброса экспериментальных данных). Начало скачка  $\bar{A}$  в смесях определяется концентрацией примеси, его величина – соответствующим критическим числом  $M$ . Сопоставление пульсационных кривых фреонов-12, 114 показывает, что величина максимальной пульсации УВ в  $C_2F_2Cl_2$  приблизительно вдвое больше, чем в  $C_2F_4Cl_2$ . Поэтому на режимах аномальной релаксации в этих двух газах можно ожидать различной степени роста коэффициента сопротивления тел.

## Л и т е р а т у р а

- [1] Мишин Г.И., Бедин А.П., Ющенкова Н.И., Скворцов Г.Е., Рязин А.П. – ЖТФ, 1981, т. 51, № 11, с. 2315–2324.
- [2] Бедин А.П., Мишин Г.И., Скворцов Г.Е. – Письма в ЖТФ, 1981, т. 7, в. 10, с. 613–618.
- [3] Мишин Г.И., Менде Н.П. В кн.: Аэрофизические исследования сверхзвуковых течений. М.-Л.: Наука, 1967, с. 163–168.

Физико-технический  
институт им. А.Ф. Иоффе  
АН СССР, Ленинград

Поступило в Редакцию  
6 октября 1988 г.

Письма в ЖТФ, том 14, вып. 24

26 декабря 1988 г.

## ОСОБЕННОСТИ ФОТОМЕТРИЧЕСКОГО МЕТОДА ИССЛЕДОВАНИЯ СМЕШЕНИЯ ДОМЕННЫХ ГРАНИЦ В ИМПУЛЬСНЫХ МАГНИТНЫХ ПОЛЯХ

Ф.Г. Б а р ь я х т а р, А.М. Г р и ш и н,  
Ю.А. К у з и н, Ю.В. М е л и х о в,  
А.М. Р е д ч е н к о

Несмотря на большое число работ, посвященных изучению динамики доменных границ (ДГ) в эпитаксиальных феррит-гранатовых пленках (ЭФГП) [1–5], отсутствие единого методического подхода к этой проблеме делает актуальным вопрос разработки универсального метода исследования процессов смешения ДГ.

Сочетание высокоскоростной фотографии (ВСФ) и импульсного фотометрического детектирования (ИФД), на наш взгляд, позволяет решить, практически, все вопросы, возникающие при исследовании динамики ДГ в ЭФГП. Однако, если эффективность ВСФ ограничена

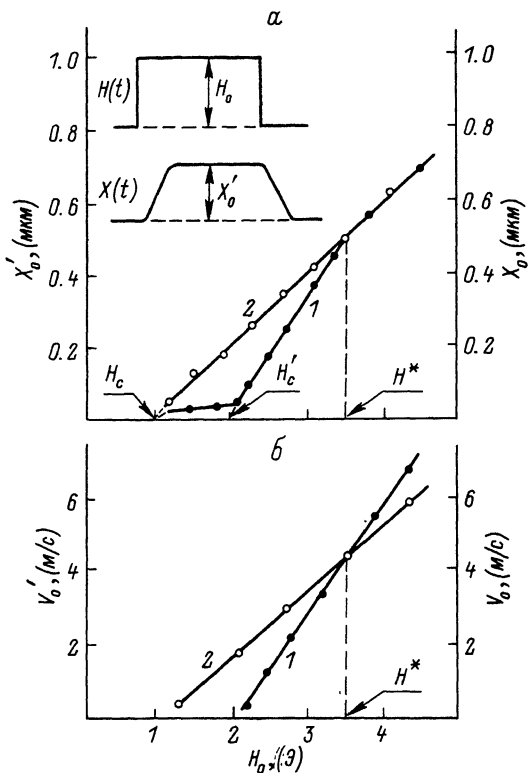


Рис. 1. Зависимости смещения (а) и скорости ДГ (б), полученные стандартным методом импульсного фотометрического детектирования (кривые 1') и методом, предложенным в настоящей работе (кривые 2). Вставка на рис., а изображает временные зависимости возбуждающего импульсного магнитного поля амплитудой  $H_0$  и смещения ДГ  $X(t)$  с установившейся амплитудой смещения  $X'_0$ .

только требованием больших амплитуд смещения ДГ ( $> 0.2$  мкм) [5], то широко используемая методика ИФД [1, 6, 7], как будет показано ниже, методически некорректна.

В данной работе рассмотрены причины, приводящие к некорректности стандартного ИФД и на основании полученных результатов предложена методика ИФД, свободная от обнаруженных недостатков.

В экспериментах, выполненных методом ИФД, исследовалось смещение ДГ под действием однородного импульсного магнитного поля, направленного вдоль оси легкого намагничивания образца. Образцами служили ЭФГП состава  $(Y, Bi)_3(Fe, Ga)_5O_{12}$ , выращенные на подложке гадолиний-галиевого граната с ориентацией (111).

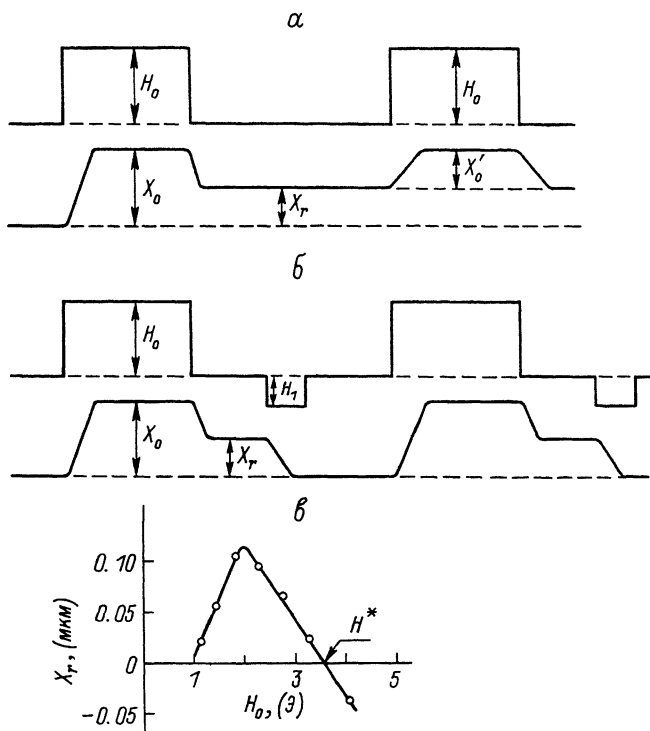


Рис. 2. Схематический характер зависимости смещения ДГ от времени при воздействии двух однократных импульсов магнитного поля амплитудой  $H_0$  (а) и при воздействии периодической последовательности импульсов, где после каждого возбуждающего импульса  $H_0$  подавался возвращающий импульс  $H_r$  (б). Зависимость невозврата ДГ  $X_r$  от величины импульсного магнитного поля  $H_0$  (в).

Ниже приведены результаты для образца толщиной  $h = 18$  мкм, намагниченностью насыщения  $4\pi M_s = 100$  Гс, коэрцитивностью  $H_c = 1$  Э и периодом полосовой доменной структуры в нулевом поле  $P_0 = 30$  мкм.

В экспериментах измерялась зависимость установившейся амплитуды смещения  $X'_0$  и скорости стационарного движения ДГ  $V'_0$  от амплитуды поля  $H_0$  (см. вставку на рис. 1, а).

Зависимость  $X'_0(H_0)$ , полученная известной методикой [6], представлена на рис. 1, а кривой 1. Как видно из рисунка, зависимость имеет характерный вид с изломами в полях  $H_c'$  и  $H^*$ . Наличие второго излома в поле  $H^* > H_c'$  существенно отличает зависимость  $X'_0(H_0)$  от кривой намагничивания, полученной при квазистатическом изменении

ния магнитного поля, и имеющей только один излом в поле равном  $H_c$ .

Сравнение зависимостей  $X_o'(H_o)$  и  $V_o'(H_o)$  (последняя представлена кривой 1 на рис. 1, б) показывает, что поле  $H'_c$  соответствует динамической коэрцитивности, а его величина  $H'_c \approx 2H_c$ , где  $H_c$  — поле коэрцитивности, измеренное в квазистатике. Хотя, согласно [1], статическая коэрцитивность не может быть меньше динамической.

Обратим внимание и на следующее противоречие. Как известно [8, 9, 10], участок зависимости  $X_o'(H_o)$  при  $H_o > H'_c$  соответствует процессам необратимого смещения ДГ, что должно было бы проявить себя наличием невозврата ДГ на зависимости  $X(t)$  при уменьшении поля  $H(t)$  до нуля (см. рис. 2, а). Однако при использовании известной методики ИФД [1, 6, 7], такой гистерезис отсутствует как при  $H_o < H'_c$ , так и в полях  $H_o > H'_c$ .

Для выяснения причин, приводящих к указанным противоречиям, нами было исследовано движение ДГ при воздействии последовательности импульсов магнитного поля, состоящей из двух однократных импульсов, амплитудой  $H_o > H_c$  (см. рис. 2, а) на предварительно размагниченную ЭФГП. В этих экспериментах сигнал с нагрузки фотоэлектронного умножителя подавался на открытый вход запоминающего осциллографа С8-12, что позволяло регистрировать постоянную составляющую, обусловленную величиной смещения ДГ, а предварительное размагничивание образца осуществлялось низкочастотным (~ 200 Гц) магнитным полем, убывающей амплитуды [8].

Как видно из рис. 2, а, отличительной особенностью действия первого импульса является наличие гистерезиса  $X_r$  на зависимости  $X(t)$ , обусловленного коэрцитивностью и приводящего к появлению остаточной намагниченности  $M_r$ . Последнее существенно изменяет исходную ситуацию для второго импульса, поскольку теперь, в момент подачи второго импульса, ДГ начнут двигаться в эффективном поле,  $z$ -я компонента которого равна

$$H_{eff} = H_o - N_{eff} \cdot M_r - H_c, \quad (1)$$

где  $N_{eff}$  — эффективный размагничающий фактор [11], а  $M_r \approx \frac{2X_r M_s}{P_o}$  [12]. Тогда как в момент подачи первого импульса,

$$H_{eff} = H_o - H_c. \quad (2)$$

Отмеченное уменьшение эффективного магнитного поля и проявляется в том, что относительное изменение амплитуды смещения ДГ —  $X_o'$  под действием второго импульса оказывается меньше, чем под действием первого —  $X_o$  (см. рис. 2, а).

Сказанное выше делает очевидной зависимость результатов, получаемых с помощью стандартного ИФД [1, 6, 7], от величины остаточной намагниченности  $M_r$ . Таким образом, основной причиной некорректности известного метода является ошибочное представле-

ние об эквивалентности характера движения ДГ под действием периодической последовательности импульсов магнитного поля и под действием мгновенного скачка поля [5]. А так как все существующие теоретические модели движения ДГ, разработанные только для случая однократного ступенчатообразного изменения поля, полностью игнорируют гистерезисные явления [1, 5-7, 13], то подобная некорректность может быть одним из источников несоответствия экспериментальных и теоретических результатов.

С целью устранения отмеченной некорректности нами предлагается усовершенствованная методика ИФД, позволяющая с помощью периодической последовательности импульсов (следовательно, в ней сохраняются все достоинства известной методики – высокое пространственное и временное разрешение) получать результаты, соответствующие однократному воздействию импульса.

Суть метода заключается в подаче, после каждого измерительного импульса  $H_0$ , размагничивающего импульса  $H_r$  (см. рис. 2, б), амплитуда которого подбирается таким образом, чтобы после его воздействия ЭФГП возвращалась в размагниченное состояние.

Предложенной методикой были измерены зависимости смещения  $X_0$  и скорость ДГ  $V_0$  от амплитуды возбуждающего импульса  $H_0$ .

Как видно из рис. 1, а, зависимость  $X_0(H_0)$  (кривая 2) теперь линейна в области  $H_0 > H_c$  и дает значение поля коэрцитивности  $H_c$ , совпадающее с квазистатической величиной этого поля. В свою очередь зависимость скорости от поля, приведенная на рис. 1, б (кривая 2), также наглядно иллюстрирует зависимость и различие динамических величин от способа измерения.

Учитывая выражение (1), причины такого различия, а также „роль“ поля  $H^*$  и нелинейность поведения  $X'_0(H_0)$  можно объяснить нелинейной зависимостью невозврата ДГ  $X_r$  от поля  $H_0$ , которую впервые удалось измерить в динамике с помощью предложенного метода (см. рис. 2, в). (Важно отметить, что нелинейность  $X_r(H_0)$  обусловлена проявлением эффекта динамического „туннелирования“ ДГ [1] через потенциальный рельеф, связанный с коэрцитивностью ЭФГП, который приводит к проскачиванию ДГ равновесного положения и к изменению знака  $X_r$  при  $H > H^*$ . Однако детальное обсуждение этого вопроса выходит за рамки настоящей работы).

Таким образом, в работе показана некорректность широко используемой методики ИФД, обусловленная различием процессов движения ДГ под действием периодической последовательности импульсов магнитного поля от процессов движения ДГ под действием ступенчатообразного изменения поля и предложена методика ИФД, лишенная этих недостатков, допускающая однозначную интерпретацию получаемых результатов в рамках существующих теоретических моделей.

## Л и т е р а т у р а

- [1] Малоземов А., Слонзуски Дж. Доменные структуры в материалах с цилиндрическими магнитными доменами. М.: Мир, 1982. 382 с.

- [2] О'Делл Т. Магнитные домены высокой подвижности. М.: Мир, 1978. 197 с.
- [3] Лисовский Ф.В. Физика цилиндрических магнитных доменов. М.: Сов. радио, 1979. 192 с.
- [4] Эшенфельдер А. Физика и техника цилиндрических магнитных доменов. М.: Мир, 1983. 496 с.
- [5] Элементы и устройства на цилиндрических магнитных доменах: Справочник / А.М. Балбашов, Ф.В. Лисовский, В.К. Раев и др./ Под ред. Н.Н. Евтихиева, Б.Н. Наумова. М.: Радио и связь, 1987. 488 с.
- [6] Seitshik G.A., Doyle W.P., Goldberg G.K. - J. Appl. Phys., 1971, v. 42, p. 1272-1274.
- [7] Логунов М.В., Рандошкин В.В., Сигачев В.Б. - ПТЭ, 1985, № 5, с. 247-248.
- [8] Кринчик Г.С. Физика магнитных явлений. М.: изд. МГУ, 1985. 336 с.
- [9] Набокин А.И. - Письма в ЖТФ, 1981, т. 7, в. 5, с. 308-312.
- [10] Григоренко А.Н., Мишин С.А., Рудашевский Е.Г. - Письма в ЖТФ, 1987, т. 13, в. 18, с. 1147-1151.
- [11] Бажажин Г.А., Ильинцева Е.Н., Мушенкова И.В., Федюнин Ю.Н., Шишков А.Г., Широкова Н.Б. - ЖТФ, 1985, т. 55, в. 2, с. 396-399.
- [12] Бажажин Г.А., Ильинцева Е.Н., Котов В.А., Телеснин Р.В., Шишков А.Г. - ФТТ, 1987, т. 29, в. 1, с. 257-260.
- [13] Набокин П.И., Николаев Л.В. - Микроэлектроника, 1981, т. 10, в. 6, с. 516-522.

Донецкий физико-технический  
институт АН УССР

Поступило в Редакцию  
28 июня 1988 г.  
В окончательной редакции  
4 ноября 1988 г.

Письма в ЖТФ, том 14, вып. 24

26 декабря 1988 г.

### ТВЕРДОТЕЛЬНО-ЖИДКОСТНЫЕ ПАССИВНЫЕ ЛАЗЕРНЫЕ ЗАТВОРЫ

Г.Б. Альтшуллер, Е.Г. Дульниева,  
А.В. Ерофеев, И.А. Мокиенко

Пассивные лазерные затворы, благодаря своей простоте и надежности, получили чрезвычайно широкое распространение в лазерной технике. Рассматривая моноимпульсные неодимовые лазеры, следует выделить два наиболее часто используемых типа пассивных затворов: на основе центров окраски в щелочногалоидных кристаллах и на основе растворов органических красителей. Однако щелочногалоид-